

Спектроскопия частиц торсионного поля

Диана Войтковяк¹, Казимеж Радущкевич², Мариан Войтковяк³, Анджей Фрыдрыховски¹

Аннотация—В публикации описана конструкция спектрографа частиц торсионного поля, построенного на базе открытых авторами до сих пор неизвестных свойств частиц торсионного поля, для которых на первый взгляд выполняются все законы геометрической оптики с учетом типичной длины волны частиц торсионного поля около 2 мм и дробного коэффициента преломления стекла для частиц торсионного поля. Показана возможность аналитического и препаратного разделения частиц торсионного поля, происходящих от элементов, отличающихся количеством протонов и/или нейтронов и их ионизированных форм, а также исследования состава и свойств химических соединений. Выявлено, что торсионное излучение, происходящее из радиоактивных распадов, представляет в основном продукты распада, в том числе элементарные частицы, а также сигнал от подсвечивания других атомов этими частицами торсионного поля.

I. ВВЕДЕНИЕ

Исключительные свойства излучения торсионных полей, такие как чрезвычайная проникающая способность, позволяющая просвечивать небесные тела, оставление “фантомов” после прошедших событий, явление запутанности/телепортации и сам факт участия излучения торсионных полей в физиологически-информационных процессах организма человека в некоторой степени наталкивают на разработку спектроскопических методов. Авторы работы 2011г [1], которая касалась информационного исследования фотографий с телескопа Хаббл, упоминают о спектроскопии микролептонов как о задаче для выполнения. В свою очередь, А. И. Вейник еще в 1977 году говорил: “К сожалению, моя аппаратура позволяет измерить только напряженность хронального поля, а никак не его информационную составляющую. Но я уверен, что придет время и появятся приборы, регистрирующие и анализирующую информацию этого поля”. [2]

Опираясь на известные и открытые нами явления, мы сконструировали спектрограф частиц торсионного поля, который, несмотря на относительно простое строение, предоставляет нам большое количество информации, недостижимой другими методами. Во вступлении

для упорядочения понятий, которые не всегда качественно определены в доступной литературе, мы ввели несколько определений касательно излучения, которое исследуем описанным ниже спектрографом.

Определение “Торсионное поле” мы трактуем как поле, переносящее во вселенной универсальную сложную информацию, подобно теориям Шипова [3] и Акимова [4]; в нашем случае мы относим эту информацию непосредственно к Категорией [5], которые мы находим в наших исследованиях, и каждая из которых несет разное информационное содержание. И аналогично упомянутым теориям, поле, имеющее скорость, превышающую скорость света, и не переносящее энергию [6].

“Частицы торсионного поля”, которыми мы занимаемся, и так их неофициально называем (пока их название не будет согласовано между разными авторами) находятся, собственно, везде. Такие частицы, характеризующиеся: присутствием Категории, хиральной поляризацией, перенесением пространственной информации, эффектом самокопирования пространственной формы, изменением состояния А в состояние В [7], выполнением законов геометрической оптики, эффектом запутанности/телепортации, эффектом оптического туннелирования; мы нашли в таких их источниках как: излучение из глубины Земли, излучение радиоактивных элементов, излучение, происходящее от Солнца и планет, все химические вещества, гомеопатические препараты, растения, тело человека (чакры, акупунктурные точки, кровь, кости, воспалительные состояния, излучение глаз, излучение смерти), искусственные источники света, электрические провода, металлические электроды под постоянным напряжением, магниты, электромагниты, радиопередатчики, вращательные элементы, химические реакции, растворение кристаллов, так называемое излучение формы, механические вибрации [7], [8].

Об аналогичных источниках, в том числе генераторах торсионных полей, основанных на перечисленных выше явлениях, большинство авторов, работающих в сфере торсионных полей в широком понимании, пишет как об источниках торсионного поля, а не частиц, при этом подается очень скупая характеристика этих полей. Обычно мы там находим только определение хиральной поляризации, относительной интенсивности, пространственного распределения. Но, стараясь отнести наши результаты к каким-то более репрезентатив-

¹ Институт физиологии человека, факультет наук о здоровье с отделением акушерства и Институт морской и тропической медицины, Гданьский медицинский университет, ул. Тувима 15, 80-210 Гданьск, Польша, diana@torsionfield.eu.

² ООО “POLIMOR”, Гданьск, Польша.

³ Независимый исследователь.

ным описаниям, мы считаем, что свойства исследуемых нами частиц имеют много общего с микролептонами Охатрина [9], [10] или хрононами Вейника [11], если мы исключим информацию, вытекающую исключительно из их теорий.

Из наших исследований вытекает определенный образ частиц торсионного поля, показывающий, что частицы торсионного поля не имеют ничего общего с моделью шариков или точечных объектов, что они растянутые, способные достичь макроскопических размеров и способны копировать пространственную информацию из других частиц торсионного поля, свободных или прочно связанных в материи. В окружающем нас пространстве выступают в ограниченном количестве, двигаясь с небольшими скоростями во всех направлениях. Они не появляются и не исчезают в низкоэнергетических процессах, но могут освобождаться в ядерных распадах. Не оказывают электромагнитного влияния. Высокопроникающие, но проявляют сродство к обычной материи (атомы, фотоны). Эти два свойства кажутся противоречивыми, что Вейник [11] объясняет взаимодействием с материей только возбужденной формы описанных им хрононов. Исходя из наших знаний, такие самокопирующие информацию частицы до сих пор не были описаны теоретиками, несмотря на то, что возможность копирования не только информации, но и самих частиц возникает автоматически, когда в учебнике физики читаем, что все электроны имеют идентичные параметры и являются не различаемыми. Многочисленные космологические концепции рассматривают рождение частиц, но не на матрице другой частицы. Но, тем не менее, такой процесс можно искать в реакции создания дополнительного протона и дополнительного антипротона при столкновении двух высокоэнергетических протонов в коллайдерах. А копирование информации такой как поляризация, фаза, направление и в определенной степени частота находим в явлении вынужденной эмиссии фотонов в лазерах.

На то, что в наших лабораторных исследованиях мы имеем дело с частицами, а не с полем, указывают следующие свойства: возможность закрытия источника в ограниченном пространстве, приобретение определенной формы, перенесение через электронные системы (радионика), аналогия сверхпроводимости, возможность создания узкого пучка с расхождением $0,3^\circ$, небольшая скорость, которую можно увеличивать ускорителем, или перенесение этих частиц на фотонах. Многие авторы, интерпретируя свои экспериментальные результаты, относят их к понятию торсионного поля, а следовало бы их отнести скорее к частицам. Кажется практически точным, что за выступающие в макроскопических явлениях эффекты торсионных полей, описываемые Акимовым [12] и другими упомянутыми им авторами, работающими в сфере торсионных полей, ответственны исследуемые нами частицы торсионного поля, как свободные, так и связанные с материей. Эти частицы, как можно допустить, являются источником торсионного поля, которое может отвечать

по своей сути за кручение пространства, связанной с материей в теории Шипова (поскольку в характеристике будет учтено свойство наличия Категории). Например, образы электрона и позитрона, отраженные в частицах торсионного поля, дают на графике спектроскопии немного сдвинутые сигналы. Когда мы повернем хиральную поляризацию образов этих частиц путем отражения в зеркале, эти сигналы поменяются местами, утверждая нас во мнении, насколько важным элементом в строении материи является кручение.

Категории являются одной из основных свойств торсионных полей и частиц торсионного поля, и эти Категории мы искали в физических воздействиях [5], [13]. Вокруг них самих с самого начала концентрировались наши опыты. Они несут глубокое информационное содержание, которое проявляется, в частности, в психике человека и животных [13], и это содержание, возможно, является универсальным во всей (нашей) вселенной. Физики до сих пор не могли учесть Категории в своих теориях, хотя ими занимались целые поколения философов от Аристотеля до Канта, Гегеля, Хайдеггера, Маркса и Ленина [14]. Собственно, глубокое информационное содержание Категории кажется недостающим звеном, объединяющим удивительным образом физику с математикой, и на этой связи базируются все физикотеоретики. Из наших исследований вытекает, что пространственное разложение Категории имеет тенденцию к созданию фрактала с несколькими уровнями самоподобия [5]. На возможность существования фракталов на квантовом уровне, динамически генерированных квантовыми скачками, указывают теоретические работы А. Ядчика [15], [16].

Пространственное отделение торсионного поля от его исходных частиц в лаборатории является на данном этапе сложной задачей, в частности, из-за наличия высокого уровня фона очень проникаемых частиц торсионного поля, двигающихся в разных направлениях. Дополнительно мы не располагаем точным определением, которое бы отличало частицы от поля, хотя бы в отношении полей, создаваемых электрическими зарядами, а одновременно применялось бы ко всем соответствующим явлениям [17]. Но похоже, что поле, излучаемое из глубины Земли, поделенное на сектора, связано с Категориями и доходящее глубоко в космос, это собственно чистое торсионное поле, описываемое теоретиками. Это излучение мы определяем как планетарный фрактал [5]. Частицы торсионного поля имеют тенденцию к синхронизации Категорий с торсионным полем, в котором двигаются, что можно наблюдать, исследуя частицы торсионного поля в разных местах на Земле [8].

II. ОПЫТЫ

А. Конструкция оптического спектрометра частиц торсионного поля с серебряной щелью

Идея строения спектрометра частиц торсионного поля происходит от конструкции спектрометра, описан-

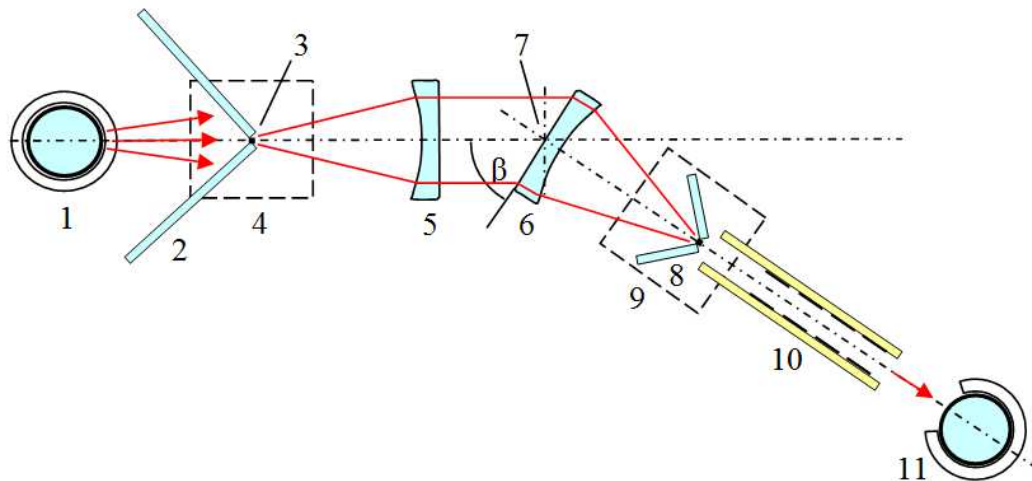


Рис. 1. Схематический рисунок спектрографа частиц торсионного поля, сконструированного авторами данной публикации.

ной Томасом Галеном Иеронимусом, но в данной нашей конструкции сложно было бы заметить какое-то сходство с его техническим решением, представленном в патенте от 1946 года [18].

На рис. 1 представлена система важных элементов спектрографа. В конструкции использованы знания, что коэффициент преломления стекла типичных исследуемых частиц торсионного поля является дробным, около 0,3 - 0,4, а длина волны составляет примерно 2мм [7]. Источником частиц торсионного поля в спектрографе является стеклянная ампула $\varnothing 20$ мм с гомеопатическим препаратом (1), расположенная в гнезде, позиционирующем ее в оптической оси. Препарат готовится с применением ускорителя частиц торсионного поля, из любого излучающего источника частиц торсионного поля. Выходящие из препарата частицы торсионного поля, полученные благодаря первичным частицам торсионного поля, доходящим из глубины Земли, попадают на коллиматор (2) из стеклянных пластинок толщиной 2 мм, действие которого основано на полном наружном отражении частиц торсионного поля, падающих под соответственно малым углом. В щели коллиматора (шириной 0,5 мм) на всей его длине расположена серебряная планка (3), вызывающая многократное сокращение длины волны частиц торсионного поля, и благодаря этому предотвращающая дифракцию на щели. Под щелью коллиматора расположен экран торсионного поля, уменьшающий доходящий изнутри Земли поток частиц торсионного поля и тем самым уменьшающий вторичное излучение торсионного поля из серебра, находящегося в щели. В качестве экрана использован материал оптического рефлектора типа зеркало, отражающее свет, OMRON E39-R8 Reflector. Следующими элементами спектрографа являются две линзы (5, 6), концентрирующие частицы торсионного поля в точках щелей коллиматоров согласно классической системе Фраунгофера, используемой в оптических

спектрографах [19]. В связи с дробным коэффициентом преломления стекла для частиц торсионного поля использованы плоско-вогнутые линзы -10 диоптрий $\varnothing 45$ мм (используемые в биноклях фирмы Zeiss). В системе нет классической призмы. Линзы, направленные друг к другу плоской стороной и наклоненные друг к другу под определенным углом, представляют собой воздушную призму. Вторая линза вместе со вторым коллиматором, ускорителем частиц торсионного поля и приемной ампулой расположены на подвижном плече, ось которого перпендикулярна плоской стороне второй линзы, являющейся одновременно преломляющей поверхностью воздушной призмы. Вторым коллиматором (8) выполнен аналогично первому, но он меньше, также с экраном (9) со стороны Земли. Ускоритель (10) ускоряет частицы торсионного поля, выделенные другим коллиматором из спектра, полученного на воздушной призме, и направляет его на ампулу с водой (11), находящуюся в гнезде, позиционирующем ее в оси ускорителя.

Ускоритель частиц торсионного поля выполнен из текстолита, покрытого медью (используемого для печатных плат), имеет четыре пары медных электродов, находящихся с внутренней стороны конструкции на расстоянии 10 мм, то есть в несколько раз большим, чем длина неускоренной волны. Использован ускоритель с плоским синусоидальным движением частиц торсионного поля, принимая во внимание меньшую чем у ускорителя со спиральным движением чувствительность к создающим помехи боковым полям, происходящим от Солнца и т.п. На следующих парах электродов напряжение в два раза больше, причем из-за сильного сосредоточения частиц торсионного поля через линзы используется только усиление ускорителя в несколько раз. Он работает при копировании сигнала только 5 ms при полном напряжении на ускорителе, равном 6 V (импульс создается интегральной схемой

НСF4538 через транзистор MOSFET IRFU024, питание от батареи 9 V). Угол подвижного плеча, закрепленного на шарикоподшипниках, измеряется при помощи электронного штангенциркуля, закрепленного между плечом и основанием устройства, а результат пересчитывается позже на угловые величины. Основание спектроскопа и подвижное плечо были выполнены из березовой фанеры как материала, мало излучающего частицы торсионного поля и мало его аккумулирующего (по крайней мере, по сравнению с синтетическими материалами и металлами). Спектроскоп защищен со стороны Солнца экраном торсионного поля размером 800 x 1000 мм, описанным в докладе конференции [7]. Дополнительно под основанием спектроскопа в качестве экрана частиц торсионного поля расположена пластина из клеточного поликарбоната Valerio 613 с отверстием для подсвечивания стандартного образца. Фотографии спектроскопа представлены на рис. 2 и 3.



Рис. 2. Фотография спектроскопа. Общий вид.

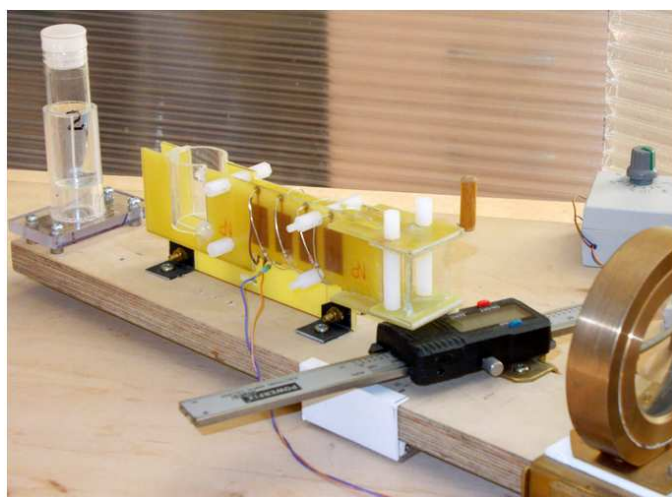


Рис. 3. Фотография спектроскопа. Вид на подвижное плечо со вторым коллиматором, ускорителем и гнездом ампулы приемника сигнала.

Излучение торсионного поля из приемной ампулы, как и в наших прошлых исследованиях, измеряет-

ся методом кинезиологического типа. Этот спектроскоп также может использоваться как препаратный с тем ограничением, что полученные фракции содержат определенное содержимое сигнала серебра со второго коллиматора, а для определенного угла разделения также с первого (рис. 4). Как угол, связанный с отклонением пучка частиц торсионного поля, принят на графиках угол β между направлением пучка (падающего) и преломляющей плоскостью (второй линзы спектроскопа). Для определения угла была использована аппроксимация кривой пятью отрезками.

В. Измерение зоны излучения

Для определения зон излучения из проб мы используем биолокацию. Точнее, рефлекс кинезиологического типа. В момент, когда мы входим в пространство с увеличенной интенсивностью потока частиц торсионного поля, сначала осознанно напряженные мышцы напрягаются еще больше, и мы или чувствуем, что они вызывают какое-то движение, или чувствуем увеличение их напряжения [20]. Нет никакого договора с “подсознанием”, нет ожидания никакой дополнительной информации об источнике частиц. Как самые пригодные мышцы, которые в очень незначительной степени подвергаются усталости, мы выбрали мышцы век. Когда мы прищуриваем глаза, мышцы век становятся очень чувствительными к разным раздражителям, в частности к увеличению интенсивности частиц торсионного поля. Глаза закрываются, что дает однозначную индикацию увеличения сигнала, хотя это может осложнять работу на местности, когда сигнал выступает на расстоянии нескольких метров. После более длительной практики измерений мы можем спонтанно перейти к ощущению напряжения других мышц, но в случае мышц век легче отличить сильный сигнал от слабого, который может быть помехой. Для детектирования Категории мы дополнительно используем образцы из разных металлов, которые держим в руке. Когда мы используем образцы, они одновременно становятся антенной, и мы производим измерение с позиции руки, а не головы. Информация проходит через тело без заметного опоздания. Если мы не используем образцы, обнаруживается Категория 11. Таким образом, меняя образцы, мы можем обнаруживать зоны всех двенадцати Категорий, излучаемых гомеопатическими препаратами, зоны излучения генераторов торсионного поля и зону появления полученного искусственным путем пучка частиц торсионного поля. Проходя по радиэстезической сетке с образцом, легко распознать, где находятся полоски отдельных Категорий, но при этом сетка мешает в измерениях зоны излучения гомеопатических препаратов, из-за чего иногда необходимо сменить место установки гомеопатического препарата, чтобы сетка не конфликтовала с зоной излучения. Если мы хотим быстро определить доминирующую Категорию в гомеопатическом препарате, достаточно пройти с препаратом в руке над двенадцатью Категориями сетки, в

месте, где Категория сетки совпадает с доминирующей Категорией препарата, мы почувствуем сигнал. Препарат выполнил роль образца. Таким образом мы также почувствуем присутствие электрических проводов под напряжением, закопанных в землю или находящихся над головой, а также тектонических разломов, которые кроме увеличенной интенсивности сигнала дают примерно трехкратное уплотнение радиэстетической сетки.

В целях спектроскопии в качестве приемников сигнала после прохода через спектроскоп мы используем прозрачные бутылочки с 10 или 40 мл воды. Подходя в их направлении с образцом, мы определяем зону излучения с точностью ± 10 см, при зоне измерения от 1 м до 7 м. Используемые образцы - это: К1 - висмут, К2 - магний, К3 - сурьма, К4 - серебро, К5 - полиамид 6 (ванадий), К6 - клей для горячей клейки, К7 - свинец, К8 - молибден, К9 - алюминий, К10 - олово, К11 - медь, К12 - марганец. Мы используем цельные образцы или в виде порошка или стружки в полиэтиленовых пробирках 15 мл. В двух случаях вместо металлов мы использовали синтетические материалы.

Описанный выше используемый нами метод никоим образом не ограничивает использование для измерения зоны излучения других методов биолокации, например, с применением рамки или детектирования с использованием электронных приборов. Возможности и точность спектроскопа, предоставляющего пробы с каждой измерительной точки, стоит трактовать отдельно от метода измерения зоны излучения этих проб.

С. Дополнительный резонансный метод идентификации элементов

Примененная нами спектроскопия оптического типа при имеющейся разрешающей способности не дает возможности идентификации всех химических элементов, которые имеют тенденцию к группированию вокруг определенных значений. Поэтому мы используем два метода специфического увеличения сигнала в выделенной фракции спектроскопии через воздействие с образцами.

Первый метод – это резонансная фильтрация, где элемент в форме химического реактива усиливает сигнал гомеопатического препарата, содержащего этот элемент. Для значительного, примерно 50% увеличения зоны излучения из ампулы с 10 мл воды, нужно около 10 г элемента, причем большие количества дают больший эффект, но определение максимальной зоны излучения длится дольше (около 2 минут). В исследовании достаточно возле ампулы с излучающей фракцией из спектроскопии поставить на расстоянии, например, 0,5 см посуду с данным элементом, возможно с химическим соединением данного элемента, учитывая возможный резонанс с остальными элементами.

Второй метод – это резонансное подсвечивание. Под исследуемый гомеопатический препарат, находящийся в спектрокопе (под лабораторным столом, на пути

подсвечивания частицами торсионного поля от Земли) вставляем ванночку с гомеопатическим препаратом искомого элемента, излучающего на уровне минимум 12 м, а иногда даже 200 м, и намечаем график спектра на искомом пределе. Сигнал для согласующегося элемента при зоне излучения препарата в ванночке 12 м примерно в два раза усилен без повышения уровня фона.

Из наших опытов следует, что оба типа резонанса распознают количество протонов, но не распознают степень окисления элемента и не распознают количество нейтронов. Эта тема заслуживает отдельной работы, но тут она необходима для интерпретации результатов спектроскопии, хотя бы в виде вводной информации. То есть, чтобы произошла резонансная фильтрация, гомеопатический препарат может содержать информацию химического элемента или химического соединения данного элемента, а в качестве его образца мы можем использовать 10 г элемента или химического соединения. До сих пор мы не замечали, чтобы выступали какие-то перекрестные взаимодействия между разными элементами за исключением прироста зоны излучения примерно на 5%, связанного с неспецифическим действием массы. Препараты из радиоактивных изотопов в гомеопатическом препарате можно исследовать образцами устойчивых изотопов этого же элемента в количестве минимум 10 г. Радиоактивные изотопы как образцы не подходят для этого метода, поскольку очень неспецифично стимулируют излучение торсионного поля из каждого гомеопатического препарата.

Д. Измерения химических элементов

Одна из идей, представленных Галленом Иеронимусом в его патенте [18] – пропорциональная зависимость угла отклонения пучка излучения, происходящего от вещества в функции атомной массы для исследуемых химических элементов. Если приблизительно, то такая зависимость появляется. Но при точных измерениях элементы имеют тенденцию к группированию вокруг определенных значений, рис. 4. Однако они не совпадают с периодами таблицы Менделеева, которые обозначены линиями в нижней части графика. Скорее всего, это влияние ядерных, а не электронных оболочек, которые отличаются для протонов и электронов, учитывая присутствие нейтронов.

В наших измерениях химических элементов мы использовали три метода стимуляции элементов к излучению торсионного поля: 1) Подсвечивание элемента частицами торсионного поля от Земли при участии тепловых движений (имеет место возрастание излучения вместе с ростом температуры); 2) Излучение под влиянием протекания постоянного электрического тока в газах; 3) В случае радиоактивных элементов подсвечивание атомов частицами торсионного поля, излучаемыми в распадах, или излучением, характерном для фрагментов, происходящих из радиоактивных распадов. В двух первых методах использовано ускорение

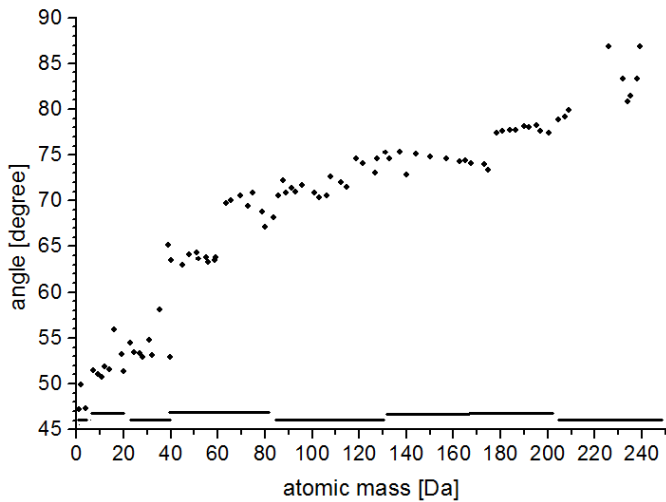


Рис. 4. Зависимость угла отклонения от атомной массы для 81 химических элементов. Горизонтальные линии внизу графика показывают диапазоны масс элементов отдельных периодов таблицы Менделеева. Ось абсцисс – атомная масса, ось ординат – угол падающего пучка по отношению к преломляющей плоскости, измеренный в градусах.

излучаемых частиц торсионного поля ускорителем частиц торсионного поля. В третьем методе в случае ^{234}U и ^{232}Th установлена ампула с водой вблизи радиоактивного вещества на несколько десятков минут. На рис. 5 представлено сравнение спектра кристаллического йода и ионизированного йода из разрядной трубки, содержащей йод. Пики йода для обоих случаев в том же положении на уровне разрешающей способности спектрографа. Но дополнительно появляется более слабый пик ионизированной формы йода с левой стороны пика йода, а также сигнал электронов при угле отклонения пучка $35,8^\circ$ (не показан), с похожей интенсивностью, как у пика ионизированной формы. Для измерений ионизированных газов мы использовали спектральные разрядные трубки, питающиеся постоянным напряжением 5 kV через реостат, ограничивающий ток до 10 mA.

Е. Нерадиоактивные изотопы

Для элементов, которые в естественном виде состоят более чем из одного изотопа, при точном выполнении измерений мы наблюдаем дополнительные сигналы для изотопов, содержащихся в меньшем процентном отношении. Это не всегда хорошо разделенные пики, но если они содержатся в количестве 10%, мы всегда видим их присутствие. На рисунке 6 представлен график, показывающий оба естественно выступающие изотопа меди ^{63}Cu (69,17%) и ^{65}Cu (30,83%) [21]. Этот график делает возможным определение разрешающей способности спектрографа. Половинная ширина пика меди составила около 1° , при полном измерительном диапазоне $30^\circ - 90^\circ$.

На рисунке 6 видим также сигнал от серебра, находящегося в первом коллиматоре (Ag).

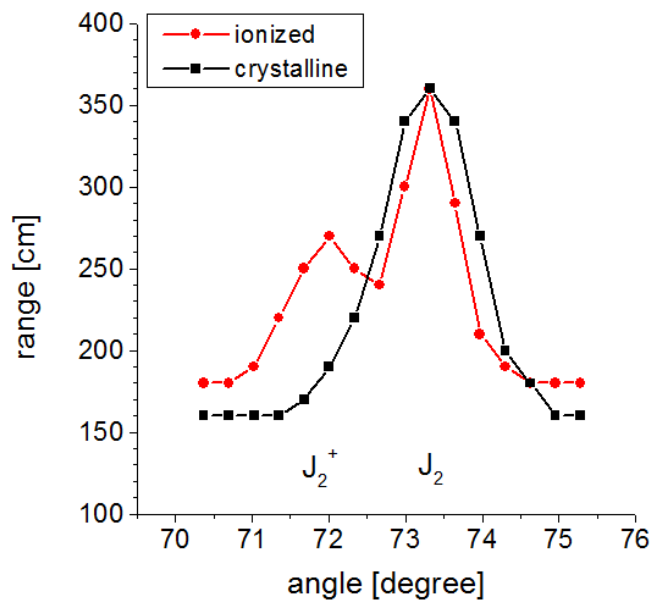


Рис. 5. Сравнение положения пика йода для кристаллического йода – черные квадраты и ионизированного йода в разрядной трубке – красные кружки. Ось абсцисс – угол, ось ординат – зона излучения из приемных ампул (K9 для кристаллического йода и K10 для разрядной трубки).

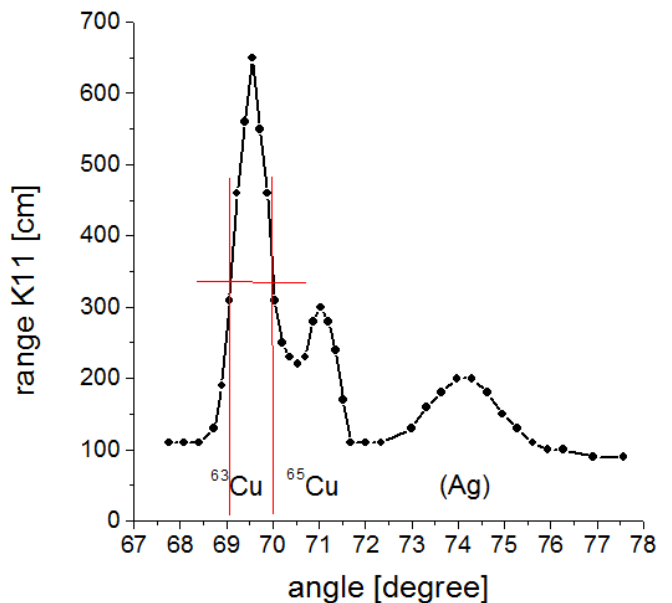


Рис. 6. Разрешающая способность спектрографа со щелью 0,5 мм, наполненной серебром, для сигнала меди. Видно оба естественно выступающих изотопа меди ^{63}Cu и ^{65}Cu . С правой стороны сигнал от серебра, находящегося в первом коллиматоре (Ag). Высота этого сигнала более-менее постоянная. Ось абсцисс – угол, ось ординат – зона излучения Категории K11.

Ф. Радиоактивные изотопы

На рис. 7 представлен полный спектр излучения натурального урана, происходящий от ядерных превращений. Тут мы видим, в принципе, все продукты распада, которые могли ожидать. В случае натурального урана, как известно, половина излучения α -частиц

происходит от ^{238}U , которого примерно 100%, а вторая половина от ^{234}U , содержание которого в натуральном уране составляет всего 0.0054% [21], но имеет во много раз большую активность.

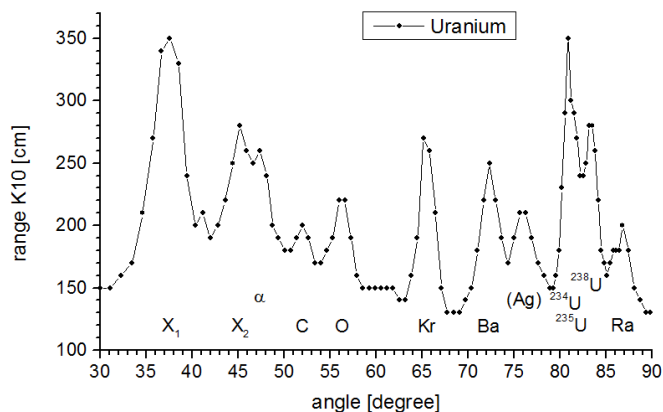
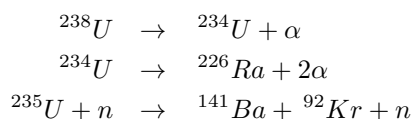


Рис. 7. Полный спектр излучения натурального урана (излучение частиц торсионного поля кристаллического ацетата уранила, удаленного). X1, X2 – элементарные частицы, α – альфа-частица, C, O – сигналы углерода и кислорода, происходящие с подсвечивания ацетатной группы, Kr, Ba – криптон и барий, происходящие из распада урана-235, Ra – радий. Ось абсцисс – угол, измеренный в градусах, ось ординат – зона излучения K10 из образцов на выходе спектроскопа, измеренная в сантиметрах.

На графике мы видим ожидаемые продукты распада из трех реакций (записанных упрощенно):



Характерно, что в случае ядерных превращений на графике с левой стороны от водорода видны пики частиц ядерного происхождения. Присутствие частиц альфа мы подтвердили методом резонансного подсвечивания гелием, идентификация остальных частиц требует дальнейших исследований. Присутствие: C, O, Ba, Ra, было подтверждено резонансными методами.

G. Химические соединения

В очередной раз мы заметили, что спектроскоп торсионных полей оптического типа показывает, какие есть элементы в неорганических и органических соединениях, а также показывает характерную систему пиков для ароматических соединений. Имеют место значительные сдвиги положения сигнала водорода для разных химических соединений, остальные элементы в химических соединениях имеют относительно постоянное положение. Для следующего после водорода элемента в таблице Менделеева, образующего химические соединения – лития – такого изменения положения пика мы не заметили – рис. 8.

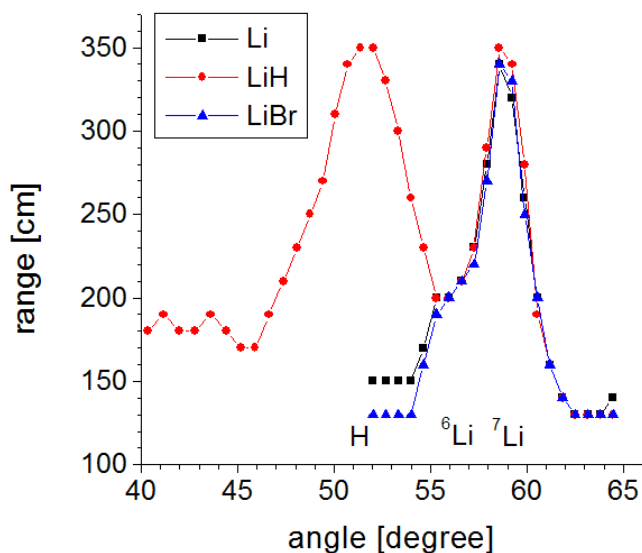


Рис. 8. Независимость положения пика лития от химического окружения. Черные квадраты – металлический литий, красные кружочки – гидрид лития, голубые треугольники – бромид лития. Видны два изотопа лития (^6Li 7,52%, ^7Li 92,48%) [21]. Ось абсцисс – угол, ось ординат – зона излучения из приемных ампул (Li – K2, LiH – K12, LiBr – K11).

В органических соединениях мы находим отдельные сигналы для каждого элемента. На рисунке 9 показан график для углеводорода н-гексана.

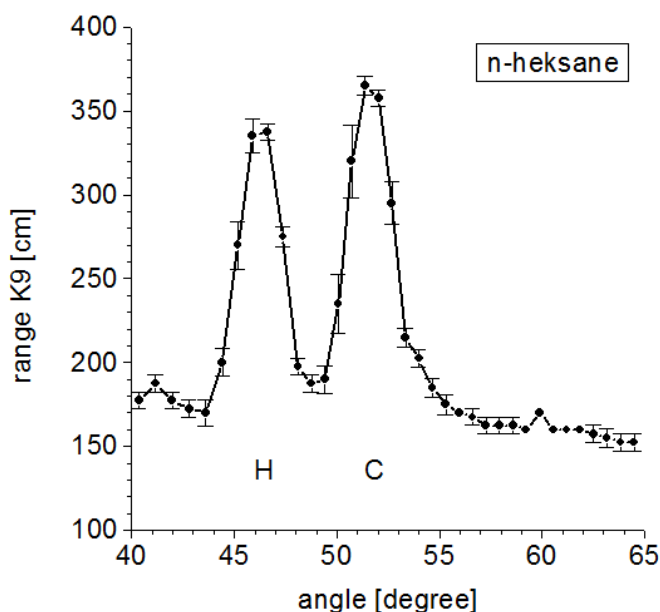


Рис. 9. Спектр н-гексана. Кривая усредненная из четырех измерений. Показано стандартное отклонение. H – водород, C – углерод. Ось абсцисс – угол, ось ординат – зона излучения K9 из приемных ампул.

Даже в относительно простых органических соединениях, таких как этиловый спирт (рис. 10) или винная кислота (рис. 11) мы можем увидеть дополнительные сигналы кроме относительно стабильных положений

водорода, углерода и кислорода. Не все атомы водорода в тех же веществах эквивалентны, отсюда можем ожидать, что дополнительный пик при угле 45° происходит от атомов водорода в другом химическом окружении, чем относительно стабильный сигнал от атома водорода, соединенного с углеродом в углеродной цепочке, имеющий на графике положение $47,5^\circ$. Сигналы ковалентно связанных элементов в одном химическом соединении обычно имеют такую же высоту.

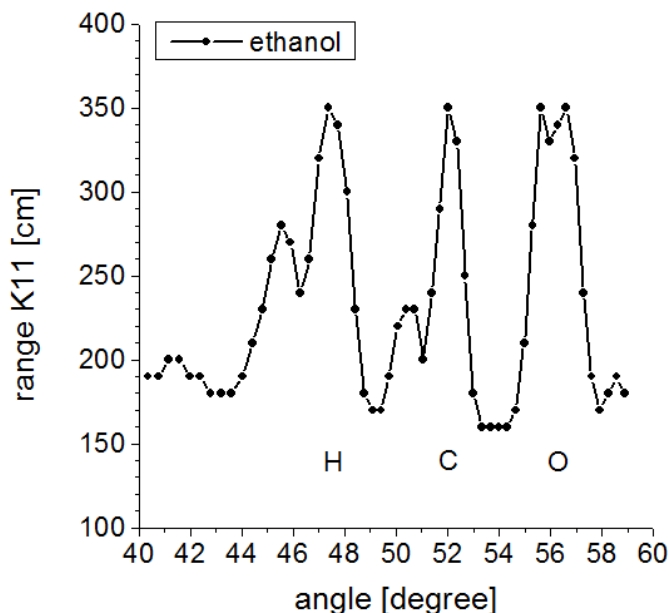


Рис. 10. Спектр 94% этанола. Ось абсцисс – угол, ось ординат – зона излучения K11 из приемных ампул.

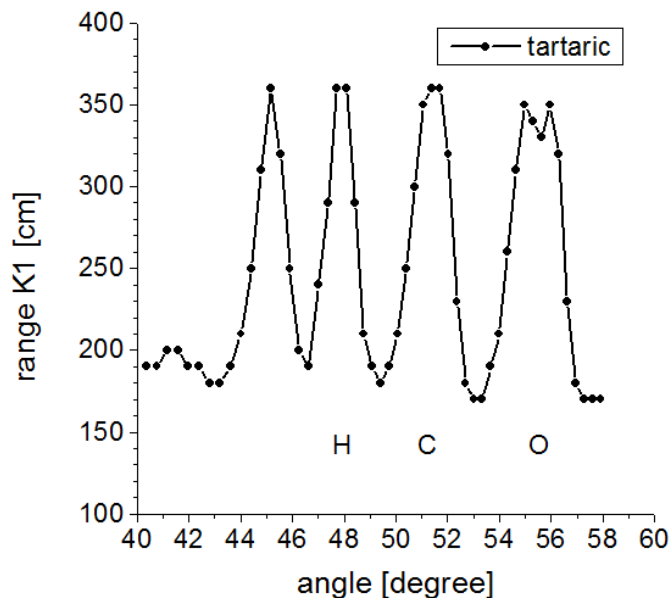


Рис. 11. Спектр винной кислоты. Ось абсцисс – угол, ось ординат – зона излучения K1 из приемных ампул.

Ароматические соединения дают независимые сигнала,

происходящие от вихревого торсионного поля, которое вращается по электронам ароматической структуры. Характерным является наличие четырех относительно широких пиков, происходящих от ароматической структуры бензола, обозначенных на рис. 12 символом π . Аналогичные четыре пика, но сдвинутые в направлении высших масс элементов, выступают в ароматических соединениях, таких как, например, ароматические аминокислоты; фенилаланин, тирозин, триптофан.

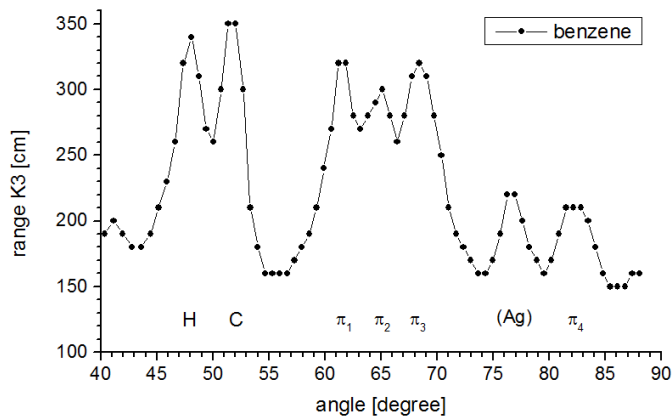


Рис. 12. Спектр бензола. Кроме пиков водорода (H) и углерода (C) видны четыре относительно широких пика (π), происходящие от ароматической структуры, образованной делокализованными электронами π . Ось абсцисс – угол, ось ординат – зона излучения K3 из приемных ампул.

Наличие сигналов, связанных со структурой органических соединений, является отдельным исследовательским вызовом. Но в этой работе мы только обозначаем их существование и возможность использования спектроскопии торсионных полей для таких исследований.

III. Выводы

В использованных нами измерениях можно говорить о трех видах спектра, характеризующих отличающиеся свойства исследуемого вещества:

1. изменение отклонения пучка частиц торсионного поля на оптической системе – первая частота;
2. два резонансных метода усиления образцами элементов в виде химического вещества или гомеопатического препарата – вторая частота;
3. Категория – связана с пространственным углом (результаты опытов не приводятся).

Из выше приведенных результатов следует, что те же частицы торсионного поля, которые были выделены спектроскопически в форме одного пика, имеют больше информации, чем только частота. Частица торсионного поля более сложная, чем фотон, связанный с электромагнитной волной, переносящий одну частоту и поляризацию.

Приведенные нами примеры спектральных исследований разных веществ показывают, что частицы торсионного поля могут доставлять информацию не только

об их элементарном составе, но также об изотопном составе, о производимых в остаточных количествах продуктах расщепления радиоактивных элементов, в том числе освобождаемых элементарных частицах, о присутствии ароматических структур в органических соединениях, а также неравноценности одних и тех же атомов в зависимости от их химического окружения. Элементы на спектре располагаются в значительной степени согласно атомным массам так, что более тяжелые меньше отклоняются на преломляющей плоскости. Но это лишь общая тенденция, обязательная только для больших разниц атомных масс. Следовательно, мы не можем говорить, что имеем дело с измерением массы. Возникает естественный вопрос, что предопределяет положение сигналов на спектре? И одновременно вопрос, как такое возможно, что частицы торсионного поля взаимодействуют как с атомами, воспринимаемыми как целое, так и с разными элементарными частицами. Наша гипотеза заключается в том, что они взаимодействуют с частицами торсионного поля, содержащимися в материи, освобождение которых мы можем наблюдать во время ядерных превращений. Этому вопросу, касающемуся моделей строения материи, будут посвящены отдельные работы.

Остается обсуждение вопроса точности измерений, принимая во внимание влияние человеческого фактора во все еще субъективных измерениях. Даже после определения нескольких тысяч измерительных точек легко потерять какие-то сигналы. Конечно, сигналы не формируют прямую огибающую, но для каждой пробы выступает присутствие сигналов, происходящих отдельно от каждого пика, и присутствие уровня фона. Определение точности путем статистического распределения из нескольких результатов (рис. 9) не выполняет тут ожидаемой роли, поскольку имеет место сильное участие космических циклов, часовых и многодневных, от подсвечивающего излучения. Изменения интенсивности сигнала могут быть даже многократные. Тут выполнены исследования в течение нескольких дней в одно и то же время суток. В биологии есть похожая проблема космических циклов, но она не имеет такого сильного влияния, поэтому игнорируется, поскольку нет осознания наличия такого влияния. Но некоторые исследователи ждут, например, две недели, чтобы повторенные эксперименты получились лучше. В спектроскопии проблему колебания интенсивности сигналов можно стабилизировать, подсвечивая исследуемую пробу торсионным излучением, происходящим от радиоактивных элементов, но нужно принимать во внимание присутствие дополнительных сигналов. Кроме того, имеют место помехи, происходящие от глобальных экспериментов, оказывающие влияние как на подсвечивание проб, так и на появление фальшивых сигналов радиэстетической сетки.

СПИСОК ЛИТЕРАТУРЫ

- [1] В.П. Горбатов, Г.Ф. Савельев, Г.С. Савельев, О.В. Трещилова. Микрорептонные исследования космоснимков Вселенной // 'Академия Тринитаризма', М., Эл №77-6567, публ.17163, 31.12.2011.
- [2] С.Г. Смирнов. Палешане. Мой друг Виктор Голов со товарищи. изд-во "Иваново Иваново 2006.
- [3] Г.И. Шипов. Теория физического вакуума в популярном изложении. Развитие программы Единой Теории Поля, выдвинутой А. Эйнштейном. Москва 1999.
- [4] А.Е. Акимов. Облик физики и технологии в начале ХХI века. Выступление на научно-педагогической конференции 'Идеи учения Живая Этика и Тайная Доктрина в современной науке и практической педагогике', Екатеринбург, 08.08.97 г. Издательство товарищества 'Диспансер', Верхняя Пышма, 1998.
- [5] Diana Wojtkowiak. Antropologia systematyczna. Autorska Seria Naukowa DETERMINIZM Tom II, Gdansk 2009. <http://www.torsionfield.eu>.
- [6] G.I. Shipov. A theory of physical vacuum: A new paradigm. ZAO 'GART', Moscow 1998.
- [7] Д. Войтковяк, Э. Малярчик, К. Радущкевич, М. Скурковска, М. Войтковяк, А. Фрыдрховски. Корпускулярно-волновые свойства торсионных полей - итоги собственных экспериментов. Торсионные поля и информационные взаимодействия – 2014: Материалы IV-й международной научно-практической конференции. Москва, 20-21 сентября 2014 г. с. 185-197 <http://www.second-physics.ru/node/30>.
- [8] Д. Войтковяк, Б. Глембицка, К. Радущкевич, М. Скурковска, А. Фрыдрховски. Медленно меняющиеся биологические часы, использующие торсионные поля . Торсионные поля и информационные взаимодействия – 2016: Материалы V-й международной научно-практической конференции. Москва, 10-11 сентября 2016 г. с. 153-167 <http://www.second-physics.ru/node/31>.
- [9] А.Ф. Охатрин, В.Ю. Татур. Микрорептонная концепция. Тезисы опубликованы в Сборнике 'Непериодические быстропотекающий явления в окружающей среде' (Тезисы докладов междисциплинарной научно-технической школы-семинара 18-24 апреля 1988, Томск), часть I, стр. 32 - 35. <http://www.trinitas.ru/rus/doc/0231/004a/02311036.htm>.
- [10] Фиряз Ханцеверов. Эниология 2: чудеса без мистики. Книга научных версий. Международная академия энергоинформационных наук. Издательство АНМ, Москва, 1999 г.
- [11] А.И. Вейник. Термодинамика реальных процессов. Издательство Наука і техника, Минск 1991.
- [12] А.Е. Акимов. Эвристическое обсуждение проблемы поиска новых дальностей. EGS-концепции. В сб. Сознание и физический мир, Выпуск 1, Издательство Агентства 'Яхтсмен', Москва 1995.
- [13] Diana Wojtkowiak. Psychopatologia wedlug kategorii uniwersalnych. Autorska Seria Naukowa DETERMINIZM Tom I, Gdansk 2008. <http://www.torsionfield.eu>.
- [14] А.Н. Книгин. Учение о категориях: Учебное пособие для студентов философских факультетов. Томский государственный университет, Томск 2002. http://sbiblio.com/biblio/archive/knigin_kategorija/.
- [15] A. Jadczyk, R. Oberg. Quantum Jumps, EEQT and the Five Platonic Fractals. (2003) arXiv:quant-ph/0204056.
- [16] A. Jadczyk. Simultaneous Measurement of Non-commuting Observables and Quantum Fractals on Complex Projective Spaces. Chinese Journal of Physics (2005) 43 (2): 301-328. arXiv:quant-ph/0311081.
- [17] Е.Н. Wichmann. Fizyka kwantowa. PWN, Warszawa 1975 - Э. Вихман. Квантовая физика (Берклеевский курс физики, Том 4).
- [18] T.G. Hieronymus. Detection of emanations from materials and measurement of the volumes thereof. US Pat. 2482773, (1949).
- [19] Szczepan Szczeniowski. Fizyka Doswiadczalna cz. IV Optyka. Panstwowe Wydawnictwo Naukowe, Warszawa 1983.
- [20] Richard Webster 'Rozdzkarstwo: jak poslugiwac sie rozdzka i odniesc sukces'. Wydawnictwo Astrum Wroclaw 1997. перевод с английского: Richard Webster. Dowsing for beginners. Llewellyn Publications, St Paul, MN 55164 USA, 1996.
- [21] Praca zbiorowa. Poradnik Fyzykochemiczny, wydanie II. Wydawnictwa Naukowo-Techniczne, Warszawa 1974.

[1] В.П. Горбатов, Г.Ф. Савельев, Г.С. Савельев, О.В. Трещилова. Микрорептонные исследования космоснимков Вселенной